

بررسی مرفوژیکی و مولکولی (28S, rDNA) ایزوله‌های گوسفندی دیکروسلیوم در استان‌های شمالی و مرکز ایران

محسن اربابی^۱، عبدالحسین دلیمی اصل^{۲*}، فاطمه غفاری فر^۳، مهدی فروزنده مقدم^۴

خلاصه:

سابقه و هدف: دیکروسلیازیس بیماری انگلی کبدی است که دارای اهمیت بالینی و اقتصادی برای انسان و صنعت پرورش دام است. با توجه به اهمیت بهداشتی و اقتصادی بیماری، در این مطالعه پارامترهای مرفوژیک و مولکولی ناحیه 28S rDNA ایزوله‌های گوسفندی دیکروسلیوم در استان‌های شمالی و مرکزی ایران طی سال‌های ۱۳۸۹-۹۰ تعیین شده است.

مواد و روش‌ها: در مجموع ۲۰۰ ترماتوداز کبد گوسفندانی که به طور طبیعی در استان‌های آذربایجان شرقی، خراسان رضوی، مازندران و تهران آلوده شده بودند، جمع‌آوری گردید. شاخص‌های مرفوژیک کرم‌های بالغ بر اساس پارامترهای مرفوژیک اندازه‌گیری شد. از این تعداد ۶۰ نمونه برای بررسی‌های مولکولی انتخاب شدند. در ابتدا DNA انگل استخراج شده، سپس واکنش PCR برای تکثیر بخشی از ناحیه 28S صورت گرفت. با تکیک RFLP و با استفاده از آنزیم محدود الاثر TruII گونه‌ی انگل تشخیص داده شد. در انتهای از محصول خالص شده PCR، تعیین توالی صورت گرفت.

نتایج: بر اساس شاخص قابل اعتماد مرفوژیک موقعیت پیشنهادی، تمام ایزوله‌ها، دارای دو پیشنهادی سرهم بودند. الکتروفورز محصول PCR در تمامی ایزوله‌های گوسفندی دیکروسلیوم باند bp ۹۶۳ نشان داد که شبیه موارد ثبت شده در بانک ژن بود. الگوی RFLP نشان‌دهنده‌ی ۴ محل برش و تشکیل فراگمنت‌های ۱۱۶ bp، ۱۴۵ bp، ۲۹۳ bp و ۴۰۹ bp بود. گرچه اختلاف شاخص‌های مرفوژیک در استان‌های مختلف معنی‌دار بود، ولی بررسی ژنومیک نشان‌دهنده وجود مشابهت بین توالی‌ها در استان‌های مورد بررسی بود.

نتیجه‌گیری: شاخص‌های مرفوژیک و مولکولی نشان دادند که دیکروسلیوم ذندریتیکوم، تنها گونه‌ی مناطق شمال و مرکز ایران می‌باشد.

وازگان کلیدی: دیکروسلیوم، مرفوژیک، تعیین توالی، گوسفند، 28S rDNA، RFLP

دو ماهنامه علمی- پژوهشی فیض، دوره شانزدهم، شماره ۲، خرداد و تیر ۱۳۹۱، صفحات ۱۴۵-۱۳۵

مقدمه

دیکروسلیازیس توسط چندین گونه دیکروسلیوم شایع در نقاط مختلف جهان به وجود می‌آید. این ترماتودهای کوچک، انگل مجاری صفرا و کیسه‌ی صفرای نشخوارکنندگان اهلی و وحشی از جمله گوسفند، بز، گاو، گاومیش، شتر، آهو و گاهی خرگوش، خوک، اسب و انسان می‌باشند [۱]. جنس دیکروسلیوم دارای سه گونه می‌باشد.

۱. دانشجوی دکترای تخصصی، گروه انگل شناسی و حشره شناسی پزشکی، دانشکده علوم پزشکی، دانشگاه

علوم پزشکی، دانشگاه تربیت مدرس

۲. استاد، گروه انگل شناسی و حشره شناسی پزشکی، دانشکده علوم پزشکی، دانشگاه

تربیت مدرس

۳. دانشیار، گروه انگل شناسی و حشره شناسی پزشکی، دانشکده علوم پزشکی،

دانشگاه تربیت مدرس

۴. دانشیار، گروه بیوتکنولوژی پزشکی، دانشکده علوم پزشکی، دانشگاه تربیت مدرس

*نشان نویسنده مسئول؛

تهران، دانشگاه تربیت مدرس، دانشکده علوم پزشکی، گروه انگل شناسی و حشره شناسی پزشکی، دانشگاه

تربیت مدرس

تلفن: ۰۹۱۲ ۳۰۴۷۹۳۱

دوفنیس؛ ۰۲۱ ۸۲۸۸۴۵۵۵

پست الکترونیک؛ dalimi_a@modares.ac.ir

تاریخ پذیرش نهایی: ۹۰/۱۱/۱۸

تاریخ دریافت: ۹۰/۱۰/۳

در سراسر اروپا، آسیا، شمال آفریقا و آمریکا، *D. Chinensis* و *D. hospes* در آفریقا و *D. Chinensis* در آسیا انتشار دارد [۳,۲]. دیکروسلیوم ذندریتیکوم مهم‌ترین گونه‌ی این انگل است که باعث عفونت کبدی و خسارات اقتصادی در علفخواران می‌شود. اهمیت اقتصادی و پژوهشی دیکروسلیازیس به‌خاطر خسارات مستقیم به کبد و فساد آن و در نتیجه از دست رفتن مقادیر قابل توجه مواد پرتوئینی با ارزش از رژیم غذایی انسان [۴] و به طور غیر مستقیم به خاطر زیان‌های ناشی از درمان-های ضدکرمی و اختلالات گوارشی به دلیل تغییرات کبدی و صفرایی است که با کاهش وزن، کندی رشد، کم خونی، ادم، کاهش تولید شیر و گاهی عواقب مرگبار همراه می‌باشد [۶,۵,۳,۱]. طیف گسترده‌ای از حلزون‌های خاکزی و مورچه به-تریب میزان واسط اول و دوم این کرم می‌باشد که این موضوع باعث پیچیدگی چرخی زندگی انگل می‌شود. علاوه بر این، پستانداران وحشی و اهلی مختلفی میزان نهایی این ترماتود می‌باشد [۲]. در دهه‌ی گذشته، مطالعات مختلفی در مورد شیوع دیکروسلیازیس گاو و گوسفند در نقاط مختلف ایران صورت

دیکروسیلیازیس در کشور مفید واقع شود.

مواد و روش‌ها

جمع آوری نمونه و مطالعه‌ی مروفومتریک

این تحقیق با طراحی مقطعی روی ۲۰۰ کبد گوسفند ذبح شده در کشتارگاه‌های صنعتی استان‌های آذربایجان شرقی، مازندران، خراسان رضوی و تهران از پائیز سال ۱۳۸۹ تا بهار ۱۳۹۰ صورت گرفت. پس از هماهنگی‌های لازم با ادارات دامپزشکی و مسئولین فنی کشتارگاه‌های استان‌های مذکور، به صورت تصادفی طی ساعات اولیه صبح در ابتدای خط کشتار حاضر شده و پس از کالبد گشایی کامل حیوان، بر اساس روش ایجاد برش در بافت و مجاری صفرایی بزرگ و کوچک و کیسه‌ی صفراء اقدام گردید. کبدهای آلوده پس از انتقال به آزمایشگاه، به مدت ۲ ساعت در سرم فیزیولوژی قرار داده شده، سپس با استفاده از قیچی جراحی و بیستوری به‌طور کامل تمامی مجاری باز گردید. کرم‌های بالغ و کامل پس از جداسازی، چندبار با بافر PBS شستشو داده شده و تا زمان اندازه‌گیری پارامترهای مروفومتریک در اتالی ۸۰ درصد فیکس گردید. با استفاده از میکروسکوپ نوری شاخص‌های مروفومتریک شامل: اندازه‌ی بدن (طول و عرض)، نسبت طول به عرض، قطر بادکش شکمی (داخلی و خارجی)، قطر بادکش دهانی (داخلی و خارجی)، نسبت اندازه‌ی بادکش شکمی به بادکش دهانی، طول و عرض بیضه‌ها، طول غدد تیبلوژن، نسبت طول بدن به غدد تیبلوژن، فاصله‌ی بین بادکش شکمی تا انتهای بدن، طول کیسه‌ی سیر، طول و عرض تخدمان و فاصله‌ی بین بادکش دهانی و شکمی بر حسب میکرون اندازه‌گیری و ثبت شد [۲۱، ۲۲]. نمونه‌ها تا زمان انجام بررسی‌های مولکولی، در $^{\circ}\text{C}$ ۸۰-۸۲ مورد بررسی انجام گرفت. به منظور مقایسه‌ی آماری و بررسی وجود اختلاف در شاخص‌های مختلف مروفومتریک دیکروسیلیوم دندریتیکوم در بین استان‌های مورد مطالعه با یکدیگر، از آنالیز Post Hoc Multiple Comparisons طریق واریانس یک‌نمایی استفاده گردید.

استخراج DNA ژنومی از کرم بالغ

تعداد ۶۰ ایزوله‌ی بالغ گوسفندی دیکروسیلیوم از ۴ استان مورد بررسی، برای استخراج DNA انتخاب شدند. استخراج DNA پس از خارج نمودن نمونه‌ها از $^{\circ}\text{C}$ ۸۰-۸۱، توسط کیت باقی PioneerAccuPrep ساخت کره‌ی جنوبی و پس از ۳ بار شستشو با PBS استریل سرد و مطابق با دستورالعمل کارخانه‌ی

گرفته و نتایج حاصل وضعیت متفاوتی از نسبت آلوودگی به این کرم را نشان می‌دهد. اگرچه در حال حاضر دیکروسیلیازیس در بین گوسفندان و گاوها نواحی شمال و شمال غرب کشور شایع است [۸، ۷]، اما در سایر مناطق انتشار کمتری دارد [۱۰، ۹]. همانند دیگر کشورهای حوزه‌ی مدیترانه، قیوع آلوودگی در ایران در ارتباط با خاک‌های خشک، آهکی و قلیائی می‌باشد که شرایط مطلوب برای زیست میزبانان واسط انگل فراهم می‌نماید [۲]. با وجود عفونت گسترده‌ی کبد، دیکروسیلیازیس کمتر به صورت کلینیکی ظاهر می‌شود [۱۱]. عفونت واقعی در انسان به ندرت مشاهده شده و اغلب در اثر خوردن میزبان واسط دوم همراه با میوه‌جات و سبزیجات خام و حتی آب آشامیدنی صورت می‌گیرد. در بسیاری از موارد عفونت‌های انسانی، غیر واقعی بوده و به علت مصرف جگه‌های آلووده به انگل و ظهور بعدی تخم کرم در مدفع می‌باشد. یک مطالعه در عربستان نشان داده است، از ۲۰۸۱ و ۲۱۲۱ بیماری که در مدفع آن‌ها تخم کرم مشاهده شده، به ترتیب ۳۲ و ۷ نفر مبتلا به عفونت واقعی دیکروسیلیوم دندریتیکوم بوده‌اند [۱۲]. نگرشی به چرخه زندگی انگل بیان گر این واقعیت است که عفونت واقعی در انسان شایع نبوده و اغلب خفیف و بدون نشانه‌ی بالینی می‌باشد و بیشتر به صورت اسهال مزمن، یوسُت، تهوع، دردهای شکمی، هپاتومگالی، انسداد مجاری صفرایی، هیپرآئزوپلیلی خون محیطی، خارش، انسداد مجاری صفرایی و کلانژایتیس بروز می‌نماید. عفونت‌های شدید در حیوانات با بزرگی و هیپرپلازی اپیتلیوم و فیروز اطراف مجرای صفرایی و در نهایت سیروز کبدی همراه می‌باشد [۱۵-۱۱]. تاکنون مطالعات محدودی در خصوص دامنه‌ی تغییرات و اختلافات مروفولوژیک بین تیپ‌های دیکروسیلیوم صورت گرفته که نشان می‌دهد دیکروسیلیوم هاسپس احتمالاً یکی از جمعیت‌های دیکروسیلیوم دندریتیکوم می‌باشد. تغییرات ژنتیکی گونه‌های بالغ دیکروسیلیوم دندریتیکوم نیز با استفاده از تکنیک RAPD (DNA مورد بررسی قرار گرفته است [۱۶-۱۱]. یافته‌های یک مطالعه اخیر نشان دهنده اختلافات قابل توجه در فراساختار اسپرماتوزون گونه‌ی دندریتیکوم و هاسپس می‌باشد. اطلاعات بیشتر نشان داده است که این دو گونه دارای ویژگی‌های اختصاصی مربوط به خود می‌باشند [۱۹]. علیرغم اهمیت دیکروسیلیازیس، اطلاعات اندکی در مورد خصوصیات مروفومتریک و ژنومیک عامل بیماری در دسترس می‌باشد. هدف از این پژوهش تعیین خصوصیات مروفولوژیکی و شناسایی مولکولی (28S, rDNA) به عنوان مارکر ژنتیکی قابل اعتماد برای تعیین گونه‌ی دیکروسیلیوم در کشور می‌باشد. نتایج این تجربه می‌تواند در تشخیص، درمان، کتترول و پیشگیری از

(accession no :AY222261.1, AY251233.1) ثبت شده (1).

ترسیم درخت فیلوژنی

هم ترازی چندگانه‌ی توالی‌های مرتب شده ایزوله‌های ۴ استان مورد بررسی به همراه ۳ توالی ثبت شده از راسته‌ی پلازور کید در بانک ژن با نرم‌افزار MEGA4 مورد بررسی قرار گرفت. سپس، درخت فیلوژنی با استفاده از الگوریتم neighbour-joining با ۲۰۰ بار تکرار، جایه‌جایی و آنالیز شاخه‌ها با بهترین حالت و صحت ترسیم گردید.

انجام واکنش PCR-RFLP

از آنزیم محدود الاثر (Fermentas) FastDigest Tru11 استفاده شد. این آنزیم به طور اختصاصی دیکروسلیوم دندان‌تکوم را از گونه‌ی مشابه آن "دیکروسلیوم هاسپس" تفکیک نموده، ولی قادر محل برش برای PCR- RFLP چاینتیسیس می‌باشد. برای انجام واکنش PCR، مخلوطی به حجم نهایی $1\text{ }\mu\text{l}$ شامل: $2\text{ }\mu\text{l}$ محصول Tru11 28S PCR دیکروسلیوم، $1\text{ }\mu\text{l}$ بافر آنزیم، $1\text{ }\mu\text{l}$ آنزیم و $1\text{ }\mu\text{l}$ آب مقطر تزیریقی تهیه شده و به مدت ۴۰ دقیقه در 65°C حمام آب گرم انکوبه شد. سپس $1\text{ }\mu\text{l}$ از محصول PCR داخل چاهک‌های ژل آگارز ۳ درصد در کنار Mарکر وزنی (Fermentas) 100 bp DNA به مدت ۹۰ دقیقه الکتروفورز گردید. در انتهای استفاده از ترانس لومیناتور، باندهای تشکیل شده در مقایسه با مارکروزنی مورد بررسی قرار گرفت.

نتائج

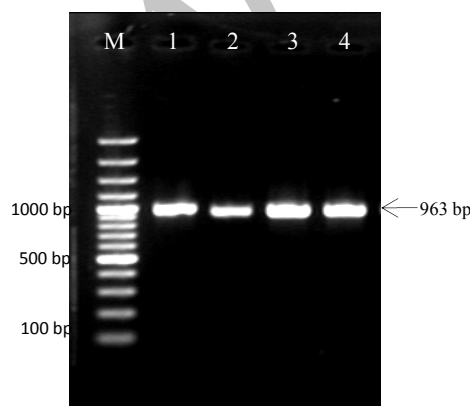
الف- بررسی مرفومنتریک: در این بررسی از هر استان ۵۰ نمونه و در مجموع ۲۰۰ ایزولهی گوستنده دیکروسلیوم برای شناسایی ۱۷ پارامتر مرفومنتریک مورد بررسی قرار گرفت. مقایسه‌ی پارامترهای مرفومنتریک در ۴ استان مورد بررسی نشان داد که اندازه‌ی شاخص‌ها با یکدیگر کاملاً متفاوت می‌باشد (جدول شماره ۱). بررسی موقعیت بیضه‌ها که شاخص قابل اعتمادی برای تشخیص افتراقی گونه‌های دیکروسلیوم می‌باشد، به روشنی نشان داد، در تمامی ایزوله‌ها، بیضه‌ها پشت سرهم (tandem) قرار دارد که این امر تائید کننده گونه‌ی دندریتیکوم در میزان و مناطق مورد مطالعه می‌باشد.

سازنده صورت گرفت. برای دست یابی به بیشترین و بهترین کیفیت DNA از ۱۰۰ میکرولتی نیاز K (داخل کیت) و زمان انکوباسیون ۲ ساعت در حمام آب گرم استفاده شد. غلظت و کیفیت DNA استخراج شده با دو روش ژل آگارز و اسپکتروفتومتری و جذب نوری در ۲۶۰ و ۲۸۰ نانومتر صورت گرفت. DNA استخراج شده در ۱۸۰ میکرولتی محلول الوشن رقیق شده و تا زمان انجام واکنش PCR در ۴۰°C-۲۰°C نگهداری گردید.

انجام واکنش PCR و تعیین توالی ژن 28SrDNA با استفاده از پرایمرهای 1000bp tDNA 28S به اندازه‌ی تقریبی- قطعه‌ای از Bank accession no: AF151939.1) و با استفاده از پرایمرهای Dd28SF (5'-GTGGCCAGTTGGTCATTAGG- 3') و Dd28SR (5'- ACCTCAGTCTGGACAAGCCA- 3') تکثیر شد. پرایمرها پس از BLAST کردن ژن با استفاده از نرم افزار 3 Primer طراحی گردید. مخلوط PCR به حجم ۱۰µl شامل: ۱۵µl آب مقطر تزریقی، ۱µl ۱ انگل، 10 mMTris- 1.5 mM .30 mM KCl, 250 µM dNTP, HCl (PH:9) از Pmol ۱ U Taq DNA Polymerase, MgCl₂ پرایمرهای Forward و Reverse تهیه گردید. واکنش PCR با استفاده از دستگاه ترموسایکلر My Cycler با قابلیت انجام گرادیان ساخت شرکت BIO-RAD آمریکا با پروتکل زیر صورت گرفت: مرحله‌ی واسرشت ابتدایی ۹۵ °C به مدت ۵ دقیقه، مرحله‌ی اتصال ۹۵ °C به مدت ۱ دقیقه، مرحله‌ی واسرشت ۹۵ °C به مدت ۱ دقیقه، مرحله‌ی طویل شدن زنجیره ۵۵ °C به مدت ۴۵ ثانیه، مرحله‌ی چاهک‌های ژل آگارز ۱/۵ درصد در کنار مارکر وزنی ۷۲ به مدت ۴۵ ثانیه، که این ۳ مرحله به تعداد ۳۰ سیکل و در نهایت یک سیکل ۱۰ دقیقه در ۷۲ °C انجام گرفت. ۱۱۴ محصول PCR داخل چاهک‌های ژل آگارز ۱/۵ درصد در کنار مارکر وزنی ۸۰ (Fermentas 100 bp بارگذاری شده و در لولتائژ به مدت ۴۵ دقیقه الکتروفوروز گردید. سپس، با استفاده از ترانس لومیناتور باند‌های تشکیل شده مشاهده شده و با مارکر وزنی مقایسه شد. به منظور دست‌یابی به توالی‌های ژن 28S دیکروسیلیوم، PCR با استفاده از کیت BioneerAccuPrep® محصول ساخت کره‌ی جنوبی و طبق دستورالعمل کارخانه‌ی سازنده مورد تخلیص ژل قرار گرفت و با سکانسر automa DNA ۳۱۰ و هر دو پرایمر به کار رفته در واکنش PCR توالی‌ها تعیین گردید. پس از مرتب‌سازی توالی‌ها، ژن 28S ایزوله‌های ایرانی دیکروسیلیوم در بانک ژن ثبت شد. تمامی توالی‌ها local alignment tool "system basic" تسامی توالی‌ها شده و با سویه‌ی استاندارد بین‌المللی،

جدول شماره ۱ - مقایسه شاخص‌های مرفومنیریک ایزوله‌های گوسفندی دیکروسلیوم در استان‌های شمالی و مرکز کشور

مقایسه استان‌ها (P)	تهران X±SE	خراسان رضوی X±SE	مازندران X±SE	آذربایجان شرقی X±SE	شاخص مرفومنیریک (μm)
۰/۰۰۱	۷۱۱۵/۰±۲۱۷/۲	۶۱۲۱/۰±۱۱۲/۳	۷۱۲۰/۰±۱۱۵/۵	۶۹۱۲/۰±۱۰۳/۹	طول بدن
۰/۰۰۱	۱۶۶۴/۵±۳۸/۳	۱۵۱۳/۵±۴۴/۶	۱۷۵۳/۰±۵۱/۰	۱۷۰۲/۷±۳۹/۷	عرض بدن
۰/۰۰۱	۴/۲۸۳۰±۰/۱	۴/۲۱۲۰±۰/۱	۴/۲۱۴۰±۰/۱	۴/۱۶۰۴±۰/۱	نسبت طول به عرض
۰/۰۰۱	۲۰۳/۰±۶/۶	۱۹۷/۰±۵/۵	۲۴۳/۰±۶/۳	۲۴۵/۵±۶/۲	قطر داخلی بادکش دهانی
۰/۰۰۱	۳۳۰/۰±۷/۰۵	۳۰۱/۰±۶/۲	۳۴۲/۰±۵/۷	۳۶۲/۰±۴/۸	قطر خارجی بادکش دهانی
۰/۰۰۱	۲۸۲/۰±۱۱/۱	۲۵۴/۰±۶/۴	۲۹۷/۰±۸/۲	۳۰۴/۰±۶/۴	قطر داخلی بادکش شکمی
۰/۰۰۱	۴۰۲/۵±۸/۰	۳۷۹/۰±۵/۷	۴۱۷/۰±۸/۱	۴۲۹/۰±۵/۹	قطر خارجی بادکش شکمی
۰/۰۰۱	۱/۲۲۹۰±۰/۰۲	۱/۲۷۲۸±۰/۰۲	۱/۲۲۴۰±۰/۰۲	۱/۱۹۰۶±۰/۰۱	نسبت بادکش شکمی به دهانی
۰/۰۰۱	۷۷۰/۰±۲۹/۶	۷۰۴/۰±۱۵/۵	۷۰۴/۰±۱۷/۲	۷۸۰/۰±۱۷/۲	طول بیضه
۰/۰۰۱	۶۴۷/۵±۲۸/۸	۵۸۷/۰±۱۳/۶	۵۸۱/۲±۱۶/۸	۶۷۱/۵±۱۶/۹	عرض بیضه
۰/۰۰۱	۱۶۹۸/۰±۵۳/۱	۱۵۷۰/۰±۴۵/۷	۱۷۱۵/۰±۴۶/۹	۱۹۳۴/۵±۵۰/۵	طول غدد زرد
۰/۰۰۵	۴/۲۸۳۰±۰/۱	۴/۰۲۵۲±۰/۰۱	۴/۲۵۴۶±۰/۱	۳/۶۸۵۶±۰/۱	نسبت طول بدن به غدد زرد
۰/۰۰۱	۰۴۷۰/۰±۱۸۹/۷	۴۷۱۱/۰±۹۷/۸	۵۴۱۹/۰±۹۲/۱	۵۸۲۵/۰±۱۱۵/۶	فاصله بین بادکش شکمی تا انها
۰/۰۰۱	۰۰۶/۵۰±۱۲/۹۳۲	۴۵۷/۰±۹/۲۳۸	۵۲۸/۰±۱۰/۳۴۲	۵۳۷/۰±۹/۰۹۸	طول سپروساک
۰/۰۰۱	۳۶۶/۵۰±۱۳/۴۱۳	۳۳۷/۰±۷/۰۷۷	۴۱۰/۰±۵/۱۵۵	۴۳۰/۰±۷/۴۹۱	طول تخمدان
۰/۰۰۱	۲۷۷/۵۰±۹/۸۵۲	۲۳۳/۷۰±۶/۹۸۲	۳۱۰/۰±۶/۷۴۲	۳۳۴/۰±۷/۸۹۴	عرض تخمدان
۰/۰۰۱	۸۴۸/۰۰±۲۱/۸۳۹	۷۶۴/۰±۱۱/۵۴۳	۸۴۰/۰±۱۰/۲۷۴	۸۷۶/۰±۱۰/۶۲۸	فاصله بین بادکش دهانی و شکمی



شکل شماره ۱ - محصول PCR ایزوله‌های گوسفندی دیکروسلیوم. ستون M مارکر ۱۰۰ bp، ستون ۱ ایزوله‌ی تهران، ستون ۲ ایزوله‌ی مازندران، ستون ۳ ایزوله‌ی خراسان رضوی و ستون ۴ ایزوله‌ی آذربایجان شرقی.

در جدول شماره ۲ شاخص‌های مرفومنیریک دیکروسلیوم دندریتیکوم گوسفندی در بین استان‌های مورد مطالعه با استفاده از آنالیز Post Hoc تحلیل واریانس یک طرفه با یکدیگر مقایسه شده است.

ب - بررسی مولکولی: در ابتدا پس از استخراج کامل DNA موجود در پیکره‌ی کرم بالغ از آن به عنوان الگو در واکنش PCR استفاده و سپس محصول تهیه شده پس از بارگذاری در ژل ۱/۵ درصد و انجام الکتروفورز مورد مشاهده و بررسی قرار گرفت. الکتروفورز محصول PCR در تمامی ایزوله‌ها، باند ۹۶۳ bp را نشان داد (شکل شماره ۱).

جدول شماره ۲- مقایسه‌ی شاخص‌های مرفومتریک دیکروسلیوم دندریتیکوم گوسفنندی در بین استان‌های مورد مطالعه

	شاخص مرفومتریک (μm)	استان	آذربایجان شرقی	تهران	خراسان رضوی
طول بدن	مازندران	۰/۲۶۹	۰/۰۳۶	۰/۰۰۱	
	خراسان رضوی	۰/۰۰۱	۰/۰۰۱	–	
	تهران	۰/۳۲۲	–	–	
عرض بدن	مازندران	۰/۸۶۴	۰/۳۷۴	۰/۰۰۱	
	خراسان رضوی	۰/۰۰۱	۰/۰۰۱	–	
	تهران	۰/۴۷۳	–	–	
نسبت طول به عرض	مازندران	۰/۱۶۸	۰/۰۱۲	۰/۰۰۱	
	خراسان رضوی	۰/۰۵۶	۰/۴۴۱	–	
	تهران	۰/۲۵۲	–	–	
قطر داخلی بادکش دهانی	مازندران	۰/۰۰۲	۰/۰۰۱	۰/۰۰۱	
	خراسان رضوی	۰/۰۰۱	۰/۳۱۶	–	
	تهران	۰/۰۰۱	–	–	
قطر خارجی بادکش دهانی	مازندران	۰/۱۸۹	۰/۰۰۹	۰/۰۰۱	
	خراسان رضوی	۰/۰۰۱	۰/۰۰۱	–	
	تهران	۰/۰۰۱	–	–	
قطر داخلی بادکش شکمی	مازندران	۰/۳۴۶	۰/۰۰۱	۰/۰۰۱	
	خراسان رضوی	۰/۰۰۱	۰/۰۰۱	–	
	تهران	۰/۰۰۱	–	–	
قطر خارجی بادکش شکمی	مازندران	۰/۱۲۴	۰/۳۷۹	۰/۰۰۱	
	خراسان رضوی	۰/۰۰۱	۰/۰۰۱	–	
	تهران	۰/۰۱۶	–	–	
نسبت بادکش شکمی به دهانی	مازندران	۰/۹۰۳	۰/۰۲۱	۰/۳۹۷	
	خراسان رضوی	۰/۴۶۹	۰/۱۴۵	–	
	تهران	۰/۰۲۹	–	–	
طول بیضه	مازندران	۰/۰۰۱	۰/۰۰۶	۰/۳۱۹	
	خراسان رضوی	۰/۰۰۱	۰/۰۰۱	–	
	تهران	۰/۰۰۱	–	–	
عرض بیضه	مازندران	۰/۰۰۱	۰/۰۰۵	۰/۸۶۶	
	خراسان رضوی	۰/۰۰۱	۰/۰۰۳	–	
	تهران	۰/۰۰۱	–	–	
طول غدد زرد	مازندران	۰/۰۰۱	۰/۲۸۰	۰/۰۰۱	
	خراسان رضوی	۰/۰۰۱	۰/۰۰۱	–	
	تهران	۰/۰۲۲	–	–	
نسبت طول بدن به غدد زرد	مازندران	۰/۰۴۷	۰/۴۷۰	۰/۹۹۰	
	خراسان رضوی	۰/۰۰۵	۰/۴۷۸	–	
	تهران	۰/۰۰۷	–	–	
فاصله بین بادکش شکمی تا انتهای	مازندران	۰/۰۰۱	۰/۰۳۶	۰/۰۰۱	
	خراسان رضوی	۰/۰۰۱	۰/۰۰۱	–	
	تهران	۰/۰۴۰	–	–	
طول سبروساک	مازندران	۰/۱۱۲	۰/۰۰۹	۰/۰۳۵	
	خراسان رضوی	۰/۰۰۱	۰/۰۰۱	–	
	تهران	۰/۳۰۹	–	–	
طول تخدمان	مازندران	۰/۰۰۱	۰/۰۰۱	۰/۰۰۱	
	خراسان رضوی	۰/۰۰۱	۰/۳۸۲	–	
	تهران	۰/۰۰۱	–	–	
عرض تخدمان	مازندران	۰/۰۰۱	۰/۰۰۱	۰/۰۰۱	
	خراسان رضوی	۰/۰۰۱	۰/۲۵۷	–	
	تهران	۰/۰۰۱	–	–	
فاصله بین بادکش دهانی و شکمی	مازندران	۰/۰۰۱	۰/۸۸۴	۰/۱۳۷	
	خراسان رضوی	۰/۰۰۱	۰/۱۰۳	–	
	تهران	۰/۰۰۲	–	–	

چنین، با موارد ثبت شده در بانک جهانی ژن (BLAST) نشان دهنده‌ی یکسان بودن آن‌ها و ۹۹ درصد تشابه بود. هم‌چنین، نتیجه‌ی سکانس‌ها به‌وضوح نشان داد که دیکروسلیوم دندربنکوم تنها گونه‌ی آلوده کننده جنس دیکروسلیوم در بین گوسفندان استان‌های شمالی و مرکز کشور می‌باشد.

در ادامه‌ی بررسی‌های مولکولی و به‌منظور تائید گونه‌ی انگل، از محصول استخراج شده ژل تعیین توالی صورت گرفت که هم‌ترازی چندگانه‌ی آن‌ها در شکل شماره ۲ نشان داده شده است. توالی‌ها پس از مرتب سازی در بانک جهانی ژن با شماره‌های (JQ081972 JQ081971 JQ081962 JQ081959) به ثبت رسید. مقایسه‌ی توالی‌ها با یکدیگر و هم‌Accession no:

CLUSTAL 2.1 multiple sequence alignment

Mazandaran	GTGGCCAGTTGGTCATTAGGCAATGTGGTGTAGGTCGTTCCGCAGAACGCGCTGCCA	60
Tehran	-----	60
East Azerbaijan	-----	60
Razavi Khorasan	-----	60

Mazandaran	CCCCAAGTCCATCAATGAGTACGGTAGTACAGACATGGCCCATGGAGGGTGAAAGGCCG	120
Tehran	-----	120
East Azerbaijan	-----	120
Razavi Khorasan	-----	120

Mazandaran	TTCGGGTGGAGATTCGGCAGGCCAGTGCTCTGGTAGACCTTGGAGTCGGTTGTT	180
Tehran	-----	180
East Azerbaijan	-----	180
Razavi Khorasan	-----	180

Mazandaran	GTGAATGCAGCCAAAGTGGTGGTAAACTCCATCCAAGGCTAAATACAAGCACGAGTCC	240
Tehran	-----	240
East Azerbaijan	-----	240
Razavi Khorasan	-----	240

Mazandaran	GATAGCGAACAAAGTACCGTGAGGAAAGTTGAAAAGTACTTGAAGAGAGAGTTAACAGT	300
Tehran	-----	300
East Azerbaijan	-----	300
Razavi Khorasan	-----	300

Mazandaran	GCGTGAAACCGCTCAGAGTAAGCAGGTGGAGTTGAAGCTTGAGAATTCAAGCT	360
Tehran	-----	360
East Azerbaijan	-----	360
Razavi Khorasan	-----	360

Mazandaran	GGTGAGGTTGGTTGGCTTGGTCAAATTGGTGGGCCCGAAGTACGTTAAACCACGTG	420
Tehran	-----	420
East Azerbaijan	-----	420
Razavi	-----	420

Mazandaran	TCCCTTCCCTTGGGTGGATGTGCGATACACTTACCAAGTGGTGCACGCTTGGTGT	480
Tehran	-----	480
East Azerbaijan	-----	480
Razavi Khorasan	-----	480

Mazandaran	TCATCGAGCCTCCTGTCAGTGCACCTCTCAGAGTGGTCACCAAGCAGGCCGCTGT	540
Tehran	-----	540
East Azerbaijan	-----	540
Razavi Khorasan	-----	540

Mazandaran	CAGGCTGTCAAGTTAACCGGTCTTGTAGTGTCCATTGGCATTGCCTGGTCGGATGG	600
Tehran	-----	600
East Azerbaijan	-----	600
RazaviKhorasan	-----	600

Mazandaran	CAGGTAGCTTGGCTCGCTCGGCTTGCTTCGAGTGTAAATCAGCTGACTGTGACGGT	660
Tehran	-----	660
East Azerbaijan	-----	660
RazaviKhorasan	-----	660

Mazandaran	TCTGTGCAGTGCCTCGAGACGGCGGCCAGTGGTGTGCATGCGTCCCCGATTGTTGG	720
Tehran	-----	720
East Azerbaijan	-----	720
RazaviKhorasan	-----	720

Mazandaran	CGTACCCCTGGTTGGTTCTGTGTTGCCTGTGATAGCAGGCCTAGTTATGGCTGGGGTTC	780
Tehran	-----	780
East Azerbaijan	-----	780
RazaviKhorasan	-----	780

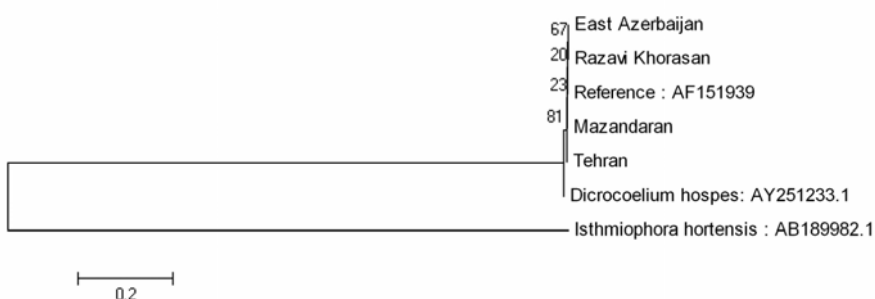
Mazandaran	GTTCGGCGAATGGTTGCGTGTGGCACCTCCAAGGGCAATAGTCTGGTGTAGTGGT	840
Tehran	-----	840
East Azerbaijan	-----	840
RazaviKhorasan	-----	840

Mazandaran	AGACTATCCACCTGACCGTCTTGAACACGGACCAAGGGAGTAACATGTACCGAGTC	900
Tehran	-----	900
East Azerbaijan	-----	900
RazaviKhorasan	-----	900

Mazandaran	----- G -----	960
Tehran	----- G -----	960
East Azerbaijan	----- C -----	960
RazaviKhorasan	----- +C -----	960

Mazandaran	GGT 963	
Tehran	--- 963	
East Azerbaijan	--- 963	
RazaviKhorasan	--- 963	

شکل شماره ۲- توالی های ایزوله های گوسفندی دیکروسلیوم دندریتکوم در استان های شمالی و مرکز کشور

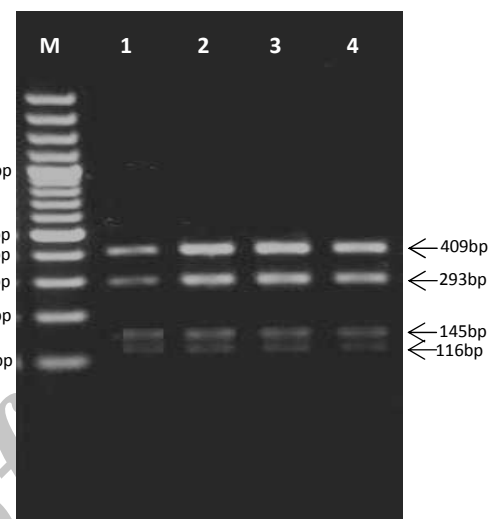


شکل شماره ۳- درخت فیلوزنیک ایزوله های گوسفندی دیکروسلیوم دندریتکوم بر اساس ناحیه 28SrDNA و استفاده از الگوریتم neighbour-joining با ۲۰۰ بار تکرار

Archive of SID

از این شاخص، دیکروسیلیوم چاینستیس را تنها گونه‌ی آلوه کننده‌ی آهوی Sika در ژاپن تشخیص دادند [۲۴]. شاخص مهم دیگر اندازه‌ی (طول و عرض) کرم بالغ می‌باشد. مطالعه‌ی حاضر نشان داد در بین ایزوله‌های گوسفندی دیکروسیلیوم، طول کرم از mm 6.12 ± 1.16 mm تا 7.12 ± 1.16 mm عرض آن از mm 1.01 ± 0.46 تا 1.75 ± 0.51 mm متغیر می‌باشد، که در مقایسه با تحقیق Otranto و همکاران که طول انگل را mm $4.70 - 5.60$ mm (5.05 ± 0.33) و عرض آن را $1.30 - 1.80$ mm (1.47 ± 0.29) گزارش کرده‌اند [۲۳] بلندتر می‌باشد. هم‌چنین، براساس یافته‌های پژوهش حاضر اختلاف معنی‌داری بین اندازه‌ی شاخص‌های مرفوژتیک در ۴ استان مورد مطالعه مشاهده می‌شود. این در حالی است که Otranto و همکاران اختلافات اندکی بین شاخص‌های مرفوژتیک دیکروسیلیوم دندریتیکوم را در بین میزانان انگل در ایتالیا، آلمان و اتریش نشان داده‌اند [۲۳]. احتمالاً این اختلاف ناشی از سن و وضعیت تغذیه‌ای میزان، وضعیت بلوغ کرم، شدت آلودگی، شرایط اقلیمی و اکولوژیکی مناطق مورد مطالعه یا مربوط به فاکتورهای دیگری باشد که در مورد ترماتودهای راسته پلازور کید ذکر شده است [۲۵]. متناسبه اطلاعات بسیار اندکی در مورد خصوصیات مرفوژتیک گونه‌های دیکروسیلیوم در اختیار می‌باشد و از این‌رو به سختی می‌توان ارزیابی دقیقی از اختلافات مشاهده شده ارایه نمود. در هر حال، یافته‌ها پژوهش حاضر برای اولین بار در ایران و خاورمیانه ارایه می‌گردد. نتایج این تحقیق نشان داد، علی‌رغم مشاهده اختلافات قابل ملاحظه درون گونه‌ای مرفوژتیک در استان‌های مورد بررسی، تفاوت اندکی در توالي‌های 28S وجود دارد. روش تعیین توالي DNA یکی از ایزوله‌های مولکولی موثر برای شناسایی و هویت انگل‌های کرمی - محسوب می‌شود [۲۶]. در میان تمامی اهداف استفاده از توالي‌ها برای مطالعات فیلوجنتیک و آنالیزهای پلی‌مورفیسم، به کارگیری tDNA ابزار قدرتمندی برای توصیف تغییرات درون گونه‌ای و بین گونه‌ای انگل‌ها می‌باشد. زیرا در برگیرنده‌ی نواحی ثابت تا بسیار متغیر می‌باشد. ناحیه 28S نیز از جمله نواحی ثابت بوده و می‌تواند تغییرات را نشان دهد [۲۷]. در پژوهش حاضر از این ژن برای توصیف تغییرات درون گونه‌ای دیکروسیلیوم در استان‌های مورد مطالعه استفاده شد. بر اساس این مارکر بین توالي‌های ایزوله‌های گوسفندی با موارد ثبت شده در بانک جهانی ژن، ۹۹ درصد (AF151939.1, AY222261.1, AY251233.1) شباهت وجود دارد. بررسی‌های Maurelli و همکاران نیز نشان داد که هیچ اختلافی بین 28S rDNA تمامی دیکروسیلیوم دندریتیکوم جدایشده از گوسفند در جنوب ایتالیا با توالي‌های ثبت شده در

در انتها علاوه بر روش تعیین توالي، برای تشخیص گونه‌ی دیکروسیلیوم در ایران، از تکنیک RFLP نیز استفاده شد. آنزیم FastDigest Tru1I در موقعیت' ۳'...A T↓T A A...3' و ۵'...A T↓T...5' دندریتیکوم ایجاد ۴ باند به اندازه‌های ۱۱۶ bp، ۱۴۵ bp، ۲۹۳ bp و ۴۰۹ bp می‌نماید (شکل شماره ۴).



شکل شماره ۴- الگوی PCR-RFLP ایزوله‌های گوسفندی دیکروسیلیوم دندریتیکوم با استفاده آنزیم FastDigest Tru1I ستون M مارکر ۱۰۰ bp، ستون ۱ ایزوله‌ی تهران، ستون ۲ ایزوله‌ی مازندران، ستون ۳ ایزوله‌ی خراسان رضوی و ستون ۴ ایزوله‌ی آذربایجان شرقی

بحث

در این بررسی با سه روش مرفوژتیک، تعیین توالي و RFLP نشان داده شد از بین ۳ گونه‌ی جنس دیکروسیلیوم، تنها دیکروسیلیوم دندریتیکوم باعث آلوهگی گوسفندان ایرانی می‌شود. یکی از شاخص‌های مرفوژتیک قابل اعتماد برای تشخیص افتراقی گونه‌های دیکروسیلیوم، موقعیت بیضه‌ها می‌باشد. در دیکروسیلیوم دندریتیکوم دو بیضه به صورت پشت سرهم (tandem) و لی در دیکروسیلیوم چاینستیس به صورت دوطرفه (bilatera) قرارداده‌است. یافته‌های این تحقیق نشان داد، بیضه‌ها در تمامی ایزوله‌های جمع‌آوری شده از مناطق مختلف جغرافیایی، موقعیت پشت سر هم داشت که بدین ترتیب دیکروسیلیوم دندریتیکوم را تنها عامل دیکروسیلیازیس گوسفندان نواحی شمالی کشور نشان می‌دهد. در مطالعه‌ی Otranto و همکاران این دو گونه بر اساس موقعیت بیضه‌ها از یکدیگر در گوسفندان اتریشی، آلمانی و ایتالیایی تشخیص داده شدند [۲۳]. Taira و همکاران نیز با استفاده

تشکر و قدردانی

این پژوهش به عنوان بخشی از رساله دکترای تخصصی انگل شناسی پزشکی مصوب دانشکده علوم پزشکی دانشگاه تربیت مدرس به شماره ۵۲/۷۵۷۹۵ و با حمایت مالی دانشگاه مذکور صورت گرفته است. پژوهشگران برخود لازم می‌دانند از معاونت محترم پژوهشی دانشگاه و دانشکده تشکر و قدردانی نمایند. از جناب آقای دکتر مجید پیرستانی به خاطر همکاری صمیمانه در انجام بررسی‌های مولکولی و جناب آقای دکتر جاوید صدرائی قدردانی می‌گردد. هم‌چنین، از مدیریت دامپزشکی و دامپزشکان محترم استان‌های مورد مطالعه که در انجام نمونه‌گیری نهایت همکاری را داشته و مدیران و کارکنان موسسه تحقیقات واکسن و سرم سازی شعب استان‌های مورد بررسی به خاطر همکاری در اجرای تحقیق تشکر و قدردانی می‌گردد.

بانک جهانی ژن وجود ندارد [۱۸]. علی‌رغم این که Otranto و همکاران با استفاده از ناحیه‌ی حفاظت شده‌ی 28S، اختلافات درون گونه‌ای دیکروسلیوم دندربیتکوم را ۱/۳ درصد نشان داده، ولی هیچ ارتباطی بین میزان یا منطقه‌ی جغرافیایی گزارش نکرده است [۲۳]: این در حالی است که پژوهش‌های قبلی اختلاف قابل ملاحظه‌ای بر اساس خصوصیات ژنومی نشان داده‌اند [۲۹، ۲۸].

نتیجه‌گیری

مطالعه‌ی حاضر که برای اولین بار در کشور به بررسی شاخص‌های مرفومنتریک و خصوصیات مولکولی (28S, rDNA) شامل تعیین توالی و الگوی RFLP پرداخته، به روشنی نشان داد تنها گونه‌ی دیکروسلیوم که باعث بروز دیکروسلیازیس در گوسفندان شمال و مرکز ایران می‌شود، دیکروسلیوم دندربیتکوم است. از این‌رو با توجه به زیان‌های اقتصادی بیماری کترل و پیشگیری از آن کاملاً ضروری می‌باشد.

References:

- [1] Otranto D, Traversa D. Dicrocoeliosis of ruminants: a little known fluke disease. *Trends Parasitol* 2003; 19(1): 12–5.
- [2] Manga-González MY, González-Lanza C, Cabanas E, Campo R. Contributions to and review of dicrocoeliosis, with special reference to the intermediate hosts of *Dicrocoelium dendriticum*. *Parasitology* 2001; 123 Suppl: S91-114.
- [3] Otranto D, Traversa D. A review of Dicrocoeliosis of ruminants including recent advances in the diagnosis and treatment. *Vet Parasitol* 2002; 107(4): 317–55.
- [4] Manga-González MY, Quiroz-Romero H, Gonzalez-Lanza C, Minambres B, Ochoa P. Strategic control of *Dicrocoelium dendriticum* (Digenea) egg excretion by naturally infected sheep. *Vet Med* 2010; 55(1): 19–29.
- [5] Manga-González MY, Ferreras MC, Campo R, Gonzal-ez-Lanza C, Perez V, Garcia-Marin JF. Hepatic marker enzymes, biochemical parameters and pathological effects in lambs experimentally infected with *Dicrocoelium dendriticum*. *Parasitol Res* 2004; 93(5): 344–55.
- [6] Ferreras MC, Camp R, Gonzalez-Lanza C, Perez V, Gar cia-Marin JF, Manga-Gonzalez MY. Immunohistochemical study of the local immune response in lambs experimentally infected with *Dicrocoelium dendriticum* (Digenea). *Parasitol Res* 2007; 101(3): 547–555.
- [7] Movassaghi-Ghazvini MH, Valilou MR, Ahmadzadeh AR, Karimi AR, Zirak K. The Prevalence of Sheep Liver Trematodes in the Northwest Region of Iran. *Turk J Vet Anim Sci* 2008; 32(4): 305-7.
- [8] Daryani A, Alaei R, Arab R, Sharif M, Dehghan MH, Ziae H. Prevalence of liver fluke infections in slaughter animals in Ardabil province, northwestern Iran. *J Anim Vet Adv* 2006; 5(5): 408-11.
- [9] Ansari-Lari M, Moazzeni M. A retrospective survey of liver fluke disease in livestock based on abattoir data in Shiraz, south of Iran. *Prev Vet Med* 2006; 73(1): 93–6.
- [10] Ahmadi NA, Meshkekar M. Prevalence and long term trend of liver fluke infections in sheep, goats and cattle slaughtered in Khuzestan, southwestern Iran. *JPS* 2010; 1(2): 26-31.
- [11] Karadag B, Bilici A, Doventas A, Kantarci F, Selcuk D, Dincer N, et al. An unusual case of biliary obstruction caused by *Dicrocoelium dendriticum*. *Scand J Infect Dis* 2005; 37(5): 385-8.
- [12] Helmy MM, Al-Mathal EM. Human infection with *Dicrocoelium dendriticum* in Riyadh district (Sau- di Arabia). *J Egypt Soc Parasitol* 2003; 33(1): 139-44.
- [13] Fauci AS, Braunwald E, Kasper DL, Hauser SL, Longo DL, Jameson JL, et al. Harrison's principles of internal medicine. 17th ed. New York: The McGraw-Hill Comp; 2008. p. 253-4.
- [14] Magi B, Frati E, Bernini L, Sansoni A, Zanelli G. Dicrocoelium dendriticum a true infection? *Infez Med* 2009; 17(2): 115-6.
- [15] Arbabi M, Dalimi A, Ghafarifar F, Froozandeh Moghadam M. Prevalence and intensity of *Dicrocoelium dendriticum* in sheep and goats of Iran. *Res J Parasitol* 2011; 10, 3923/Jp.1-8.
- [16] Sandoval H, Manga-González Y, Campo R, García P, Castro JM, Pérez de la Vega M. Preliminary study on genetic variability of

- Dicrocoelium dendriticum* determined by random amplified polymorphic DNA. *Parasitol Int* 1999; 48(1): 21–6.
- [17] Manga-González MY, Gonzalez-Lanza C. Field and experimental studies on *Dicrocoelium dendriticum* and Dicrocoeliasis in northern Spain. *J Helminthol* 2005; 79(4): 291–302.
- [18] Maurelli MP, Rinaldi L, Capuano F, Perugini AG, Veneziano V, Cringoli G. Characterization of the 28S and the second internal transcribed spacer of ribosomal DNA of *Dicrocoelium dendriticum* and *Dicrocoelium hospes*. *Parasitol Res* 2007; 101(5): 1251–5.
- [19] Agostini S, Miquel J, Ndiaye PI, Marchand B. *Dicrocoelium hospes* Loos, 1907 (Digenea, Dicrocoeliidae): spermiogenesis, mature spermatozoon and ultrastructural comparative study. *Parasitol Res* 2005; 96(1): 38–48.
- [20] Ogambo-Ongoma AH. Fascioliasis survey in Uganda. *Bull Epizoot Dis Afr* 1972; 20(1): 35–41.
- [21] Yamaguti S. Synopsis of digenetic trematodes of vertebrates. Tokyo: Keigaku Publishing Co.; 1971.
- [22] Taira K, Shirasaka S, Taira N, Ando Y, Adachi Y. Morphometry on lancet flukes found in Japanese Sika deer (*Cervus nippon centralis*) captured in Iwate Prefecture, Japan. *J Vet Med Sci* 2006, 68(4): 375–7.
- [23] Otranto D, Rehbein S, Weigl S, Cantacessi C, Parisi A, Lia RP, Olson PD. Morphological and molecular differentiation between *Dicrocoelium dendriticum* (Rudolphi, 1819) and *Dicrocoelium chinensis* (Sudarikov and Ryjikov, 1951) Tang and Tang, 1978 (Platyhelminthes: Digenea). *Acta Tropica* 2007; 104: 91–5.
- [24] Taira K, Shirasaka S, Taira N, Ando Y, Adachi Y. Morphometry on lancet flukes found in Japanese sika deer (*Cervus nippon centralis*) captured in Iwate Prefecture, Japan. *J Vet Med Sci* 2006, 68(4): 375–7.
- [25] Tkach V, Pawlowski J, Mariaux J. Phylogenetic analysis of the suborder Plagiorchiata (Platyhelminthes, Digenea) based on partial 1srDNA sequences. *Int J Parasitol* 2000; 30(1): 83–93.
- [26] Nolan MJ, Cribb TH. The use and implications of ribosomal DNA sequencing for the discrimination of digenetic species. *Adv Parasitol* 2005; 60: 101–63.
- [27] Hillis DM, Dixon MT. Ribosomal DNA: molecular evolution and phylogenetic inference. *Q J Biol* 1991; 66(4): 411–53.
- [28] Sandoval H, Manga-González Y, Campo R, García P, Castro JM, Pérez de la Vega M. Preliminary study on genetic variability of *Dicrocoelium dendriticum* determined by random amplified polymorphic DNA. *Parasitol Int* 1999; 48(1): 21–6.
- [29] Birova V, Macko JK. On the variability of *Dicrocoelium dendriticum* (Rudolphi, 1819) in domestic and free-living animals. III. On variability of organophenotes from sheep and cattle in East Slovakia. *Helminthologia* 1987; 24: 197–208.